



GOBIERNO  
DE ESPAÑA

MINISTERIO  
DE AGRICULTURA Y PESCA,  
ALIMENTACIÓN Y MEDIO AMBIENTE



CONFEDERACIÓN  
HIDROGRÁFICA  
DEL EBRO

2016

---

# **ESTABLECIMIENTO DE UNA METODOLOGÍA PARA EL SEGUIMIENTO DEL POTENCIAL ECOLÓGICO VS. ESTADO TRÓFICO DE LOS EMBALSES DE LA CUENCA DEL EBRO**

**INFORME FINAL DEL EMBALSE DE CANELLES**

---



**ÁREA DE CALIDAD DE AGUAS  
CONFEDERACIÓN HIDROGRÁFICA DEL EBRO**





---

## ESTABLECIMIENTO DE UNA METODOLOGÍA PARA EL SEGUIMIENTO DEL POTENCIAL ECOLÓGICO VS. ESTADO TRÓFICO DE LOS EMBALSES DE LA CUENCA DEL EBRO

---

### PROMOTOR:

CONFEDERACIÓN HIDROGRÁFICA DEL EBRO



### SERVICIO:

CONTROL DEL ESTADO ECOLÓGICO

### DIRECCIÓN DEL PROYECTO:

Vicente Sancho Tello Valls y María José Rodríguez Pérez

### EMPRESA CONSULTORA:

Instituto Cavanilles de Biodiversidad y Biología Evolutiva de la Universidad de Valencia Estudi General

### EQUIPO DE TRABAJO:

Área de Limnología, dirigida por Dr. Eduardo Vicente Pedrós, Catedrático de Ecología. Director del Estudio.

### PRESUPUESTO DE LA ADJUDICACIÓN:

89.000,00 €

### CONTENIDO:

INFORME INDIVIDUAL DEL EMBALSE DE CANELLES

### AÑO DE EJECUCIÓN:

2016

### FECHA ENTREGA:

DICIEMBRE 2016



#### REFERENCIA IMÁGENES PORTADA:

Vista del embalse de Canelles desde el camino de acceso.

CITA DEL DOCUMENTO: Confederación Hidrográfica del Ebro (2016). Establecimiento de una metodología para el seguimiento del potencial ecológico vs. estado trófico de los embalses de la cuenca del Ebro. 212 págs. más anejos. Disponible en PDF en la web: <http://www.chebro.es>

El presente informe pertenece al Dominio Público en cuanto a los Derechos Patrimoniales recogidos por el Convenio de Berna. Sin embargo, se reconocen los Derechos de los Autores y de la Confederación Hidrográfica del Ebro a preservar la integridad del mismo, las alteraciones o la realización de derivados sin la preceptiva autorización administrativa con fines comerciales, o la cita de la fuente original en cuanto a la infracción por plagio o colusión. A los efectos prevenidos, las autorizaciones para uso no científico del contenido deberán solicitarse a la Confederación Hidrográfica del Ebro.



## ÍNDICE

	Página
<b>1. INTRODUCCIÓN.....</b>	<b>7</b>
<b>2. DESCRIPCIÓN GENERAL DEL EMBALSE Y DE LA CUENCA VERTIENTE.....</b>	<b>7</b>
2.1. <i>Ámbito geológico y geográfico.....</i>	<i>7</i>
2.2. <i>Características morfométricas e hidrológicas.....</i>	<i>8</i>
2.3. <i>Usos del agua.....</i>	<i>9</i>
2.4. <i>Registro de zonas protegidas.....</i>	<i>9</i>
<b>3. TRABAJOS REALIZADOS .....</b>	<b>10</b>
<b>4. DIAGNÓSTICO DE LA SITUACIÓN ACTUAL .....</b>	<b>11</b>
4.1. <i>Características fisicoquímicas de las aguas.....</i>	<i>11</i>
4.2. <i>Hidroquímica del embalse.....</i>	<i>14</i>
4.3. <i>Fitoplancton y concentración de clorofila.....</i>	<i>15</i>
4.4. <i>Zooplancton.....</i>	<i>18</i>
<b>5. DIAGNÓSTICO DEL GRADO TRÓFICO .....</b>	<b>20</b>
<b>6. DIAGNÓSTICO DEL POTENCIAL ECOLÓGICO.....</b>	<b>21</b>
<b>ANEXO I. REPORTAJE FOTOGRÁFICO</b>	

## ÍNDICE DE FIGURAS Y TABLAS

---

### ÍNDICE DE FIGURAS CORRESPONDIENTES A GRÁFICOS Y FOTOS

<b>Figura 1.</b> Volumen embalsado y salida durante el año hidrológico 2015-2016. ....	9
<b>Figura 2.</b> Localización de la estación de muestreo en el embalse. ....	10
<b>Figura 3.</b> Perfil vertical de la temperatura y pH .....	11
<b>Figura 4.</b> Perfil vertical de la extinción luminosa y oxígeno disuelto .....	12
<b>Figura 5.</b> Perfil vertical de la conductividad .....	13
<b>Figura 6.</b> Perfil vertical de la clorofila <i>a</i> .....	16
<b>Figura 7.</b> Vista del cañón del embalse .....	27
<b>Figura 8.</b> Vista del punto de acceso al embalse .....	27

### ÍNDICE DE TABLAS

<b>Tabla 1.</b> Características morfométricas del embalse de Canelles .....	8
<b>Tabla 2.</b> Estructura y composición de la comunidad de fitoplancton .....	15
<b>Tabla 3.</b> Composición detallada de la comunidad de fitoplancton .....	16
<b>Tabla 4.</b> Estructura y composición de la comunidad de zooplancton .....	18
<b>Tabla 5.</b> Composición detallada de la comunidad de zooplancton .....	19
<b>Tabla 6.</b> Parámetros indicadores y rangos de estado trófico. ....	20
<b>Tabla 7.</b> Diagnóstico del estado trófico del embalse de Canelles .....	20
<b>Tabla 8.</b> Parámetros y rangos para la determinación del potencial ecológico experimental. ....	21
<b>Tabla 9.</b> Combinación de los indicadores .....	22
<b>Tabla 10.</b> Diagnóstico del potencial ecológico del embalse de Canelles. ....	22
<b>Tabla 11.</b> Valores de referencia propios del tipo ( $VR_t$ ) y límites de cambio de clase de potencial ecológico de los indicadores de los elementos de calidad de embalses (RD 817/2015) .....	23
<b>Tabla 12.</b> Parámetros, rangos del RECT y valores para la determinación del potencial ecológico normativo. ....	24
<b>Tabla 13.</b> Combinación de los indicadores .....	24
<b>Tabla 14.</b> Diagnóstico del potencial ecológico ( $PE_{norm}$ ) del embalse de Canelles .....	25

## 1. INTRODUCCIÓN

El presente documento recoge los resultados de los trabajos realizados en el embalse de Canelles durante los muestreos de 2016 y la interpretación de los mismos, a efectos de proporcionar una referencia que facilite la consulta y explotación de la información obtenida.

En general, se recurre a presentaciones gráficas y sintéticas de la información, acompañadas de un texto conciso, lo que permitirá consulta una ágil y rápida del documento.

En el **Anexo I** se presenta un reportaje fotográfico que refleja el estado del embalse durante el periodo estudiado (verano 2016, correspondiente al año hidrológico 2015-2016).

En apartados sucesivos se comentan los siguientes aspectos:

- Resultados del estudio en el embalse (FASE DE CARACTERIZACIÓN) de todos los aspectos tratados (hidrológicos, fisicoquímicos y biológicos), que culminan en el diagnóstico del grado trófico.
- Clasificación del “Potencial Ecológico experimental”, tras la aplicación de los indicadores biológicos, propuestos en la MEMORIA DEL ESTUDIO, y fisicoquímicos, propuestos en la Directiva Marco del Agua.
- Clasificación del “Potencial Ecológico normativo”, tras la aplicación de los indicadores biológicos y fisicoquímicos propuestos en la Directiva Marco del Agua.

## 2. DESCRIPCIÓN GENERAL DEL EMBALSE Y DE LA CUENCA VERTIENTE

### 2.1. **Ámbito geológico y geográfico**

El embalse de Canelles se enclava en el reborde meridional de las Sierras Exteriores Subpirenaicas (Sierra de Mongay, Sierra de Monsech), también conocido con el nombre de zona de “Las Nogueras”.

En términos geológicos, el embalse de Canelles se sitúa sobre materiales del Cretácico superior (calizas bioclásticas, margas y areniscas), y concretando más, en los Pisos Cenomaniense-Turoniense (calizas con Prealveolina y calizas con rudistas). Además, aparecen materiales del Oligoceno (conglomerados, areniscas y lutitas) y depósitos del Cuaternario.



El embalse de Canelles se sitúa dentro del término municipal de Estopiñán, en las provincias de Huesca-Lérida. Regula las aguas del río Noguera Ribagorzana.

## 2.2. Características morfométricas e hidrológicas

Se trata de un embalse de grandes dimensiones y de geometría irregular y sinuosa.

La cuenca vertiente al embalse de Canelles tiene una superficie total de 163578,54 ha.

Este embalse tiene una capacidad total de 668 hm<sup>3</sup>. Tiene una profundidad media de 43,3 m, mientras que la profundidad máxima alcanza los 91 m.

En la tabla 1 se presentan las características morfométricas del embalse.

**Tabla 1.** Características morfométricas del embalse de Canelles.

Capacidad total N.M.N.	668 hm <sup>3</sup>
Superficie inundada	1569 ha
Cota máximo embalse normal	506 m

Tipo de clasificación: 11. Monomítico, calcáreo de zonas no húmedas, pertenecientes a ríos de la red principal.

Se trata de un embalse monomítico. La termoclina en el periodo estival se sitúa entorno entre los 7 y 20 metros de profundidad. El límite inferior de la capa fótica se encuentra a 13 metros de profundidad determinado mediante medidor fotoeléctrico, aunque la estimación mediante el Disco de Secchi era de 8,8 m.

El tiempo de residencia hidráulica media en el embalse de Canelles para el año hidrológico 2015-2016 es de 11,34 meses.

En la figura 1 se presentan los valores diarios del volumen embalsado y salida media correspondientes al año hidrológico 2015-2016.



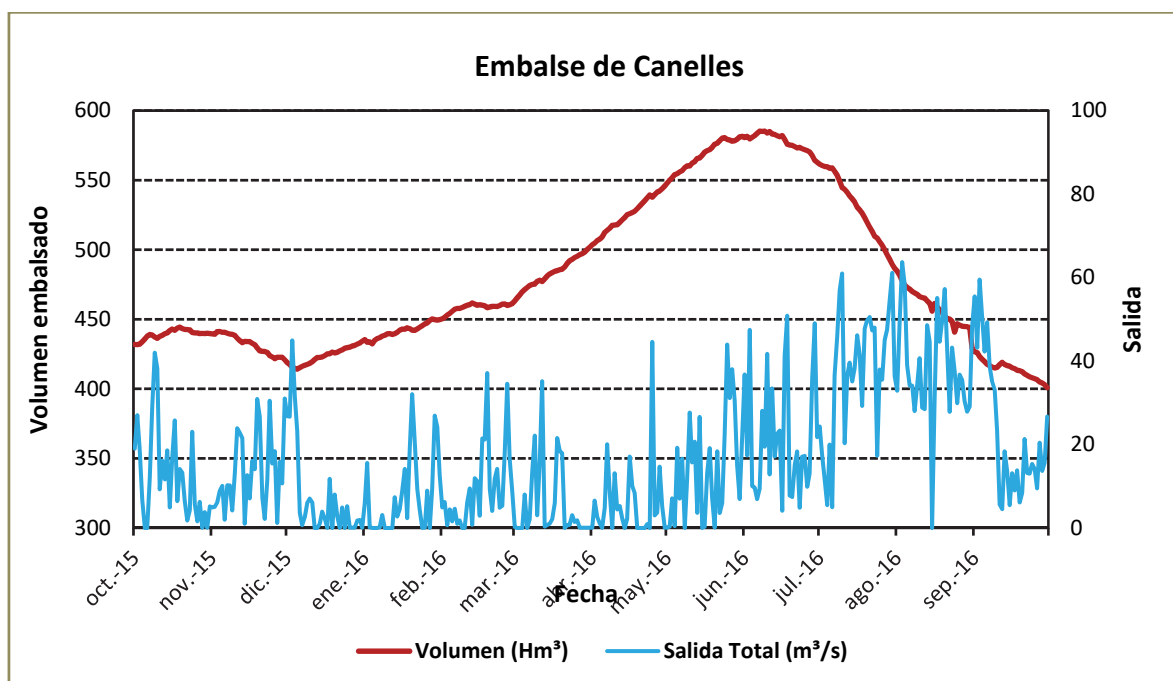


Figura 1. Volumen embalsado y salida durante el año hidrológico 2015-2016.

### 2.3. Usos del agua

Las aguas del embalse se destinan principalmente al aprovechamiento hidroeléctrico, al abastecimiento humano y a los regadíos. También se pueden destinar para actividades deportivas: la pesca, ya que el embalse es coto deportivo de pesca y la navegación (sin restricciones para remo, con condiciones poco favorables para vela y motor).

### 2.4. Registro de zonas protegidas

El embalse de Canelles forma parte del Registro de Zonas Protegidas elaborado por la Confederación Hidrográfica del Ebro, en contestación al artículo 6 de la Directiva Marco del Agua, en las categorías de: zonas de extracción de agua para el consumo humano y zonas de protección de hábitats o especies (Punto Red Natura 2000: ZEPAs y LICs ES5130015 "Serra del Montsec, ES5130032 "Vessants de la Noguera Ribargorçana", y ES0000288 "Sierra de Mongay").

### 3. TRABAJOS REALIZADOS

Para acometer la caracterización del embalse se ha ubicado una estación de muestreo en las inmediaciones de la presa (ver figura 1). Se ha completado una campaña de muestreo el 1 de Agosto de 2016, en la que se midieron *in situ* los parámetros fisicoquímicos y el Disco de Secchi en la columna de agua, se tomó una muestra de agua integrada para los análisis químicos y se realizaron muestreos de fitoplancton y zooplancton.

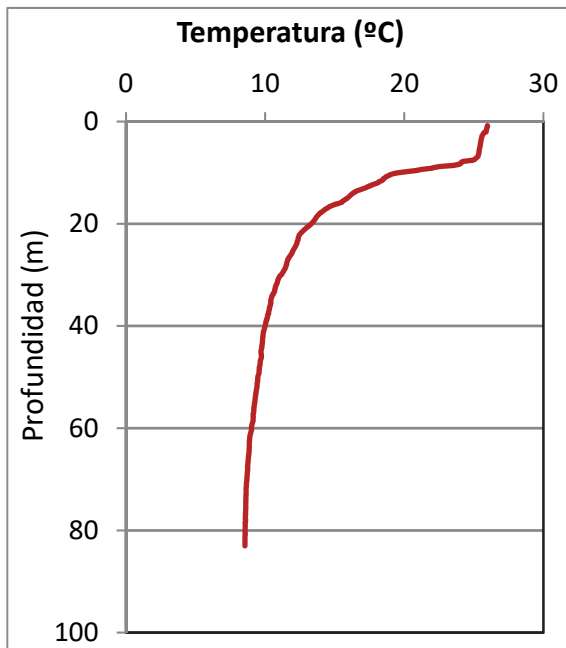


Figura 2. Localización de la estación de muestreo en el embalse.

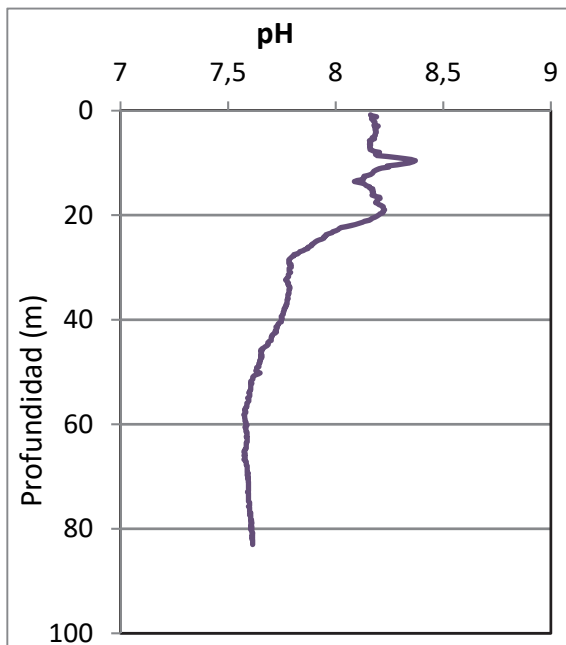
## 4. DIAGNÓSTICO DE LA SITUACIÓN ACTUAL

### 4.1. Características fisicoquímicas de las aguas

De los resultados obtenidos se desprenden las siguientes apreciaciones:

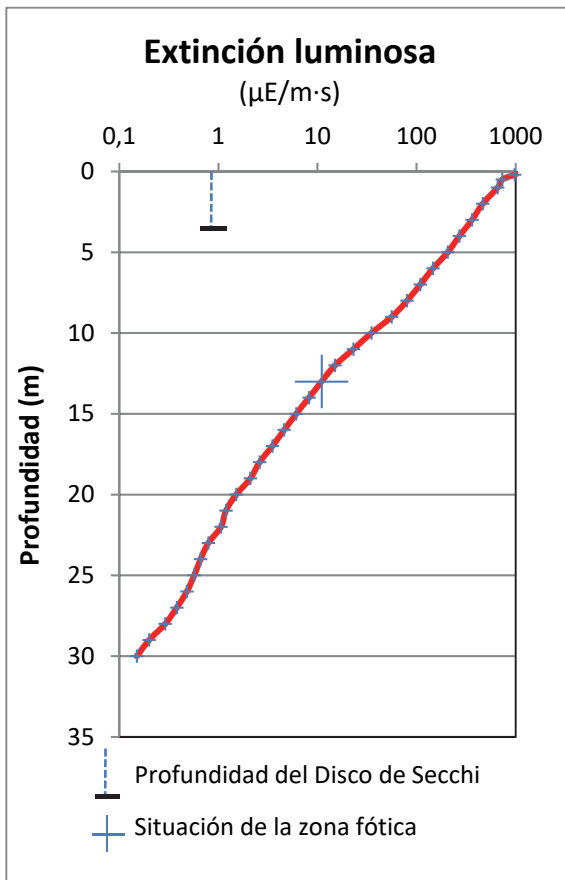


La temperatura del agua oscila entre los 8,55 °C – en el fondo- y los 25,98 °C - máximo registrado en superficie-. En el momento del muestreo (Agosto 2016) la termoclina se sitúa entre los 7 – 20 metros de profundidad.



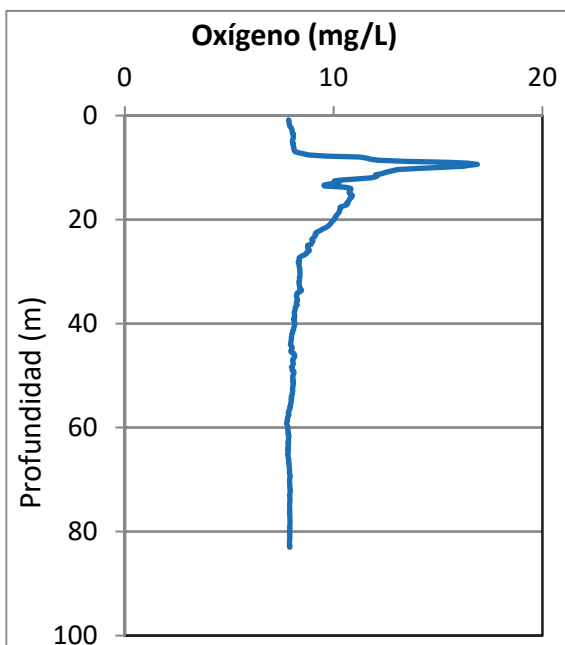
El pH del agua en superficie es 8,17. En el fondo del embalse el valor del pH es de 7,61. Hay un máximo registrado a 9 metros de profundidad con un valor de pH de 8,32.

**Figura 3.** Perfiles verticales de la temperatura y el pH.



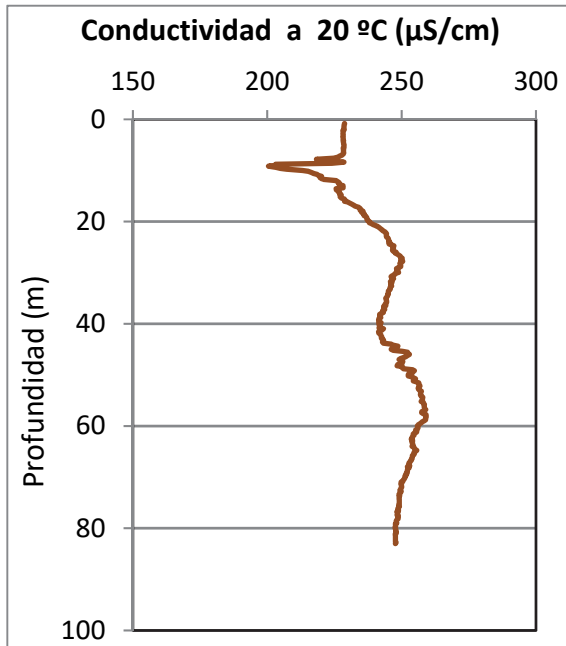
La transparencia del agua registrada en la lectura de disco de Secchi (DS) es de 3,5 m, lo que supone una profundidad de la capa fótica de 8,8 metros. Sin embargo, la capa fótica determinada con medidor fotoeléctrico es de 13 m, por lo que a efectos de muestreo se considera ese espesor de columna de agua.

La turbidez media de la zona eufótica (muestra integrada de 13 m de profundidad) fue de 2,22 UAF.



Las condiciones de oxigenación de la columna de agua en el epilimnion alcanzan en el muestreo una concentración media de 8,01 mg/L. La concentración media alcanzada en el hipolimnion es de 8,14 mg/L. El máximo se observa a 9 m de profundidad, con un valor de 16,8 mg/L. No se han detectado condiciones anóxicas ( $<2$  mg  $\text{O}_2/\text{L}$ ).

**Figura 4.** Perfiles verticales de la extinción luminosa y el oxígeno disuelto.



La conductividad del agua es de 228  $\mu\text{S}/\text{cm}$  en la superficie y de 247  $\mu\text{S}/\text{cm}$  en el fondo del embalse, aunque el valor mínimo se presenta a sobre los 9 m con un valor de 203  $\mu\text{S}/\text{cm}$ .

**Figura 5.** Perfil vertical de la conductividad.



## 4.2. Hidroquímica del embalse

De los resultados analíticos obtenidos en la campaña de 2016 en la muestra integrada, se desprenden las siguientes apreciaciones:

- La concentración de fósforo total (PT) en la muestra integrada (zona fótica) fue de 6,11  $\mu\text{g P/L}$ .
- La concentración de P soluble fue de 1,95  $\mu\text{g P/L}$ .
- La concentración de nitrógeno total (NT) fue de 0,40 mg N/L.
- La concentración de nitrógeno inorgánico oxidado (nitrato + nitrito, NIO) tomó un valor de 0,18 mg N/L.
- La concentración de amonio ( $\text{NH}_4$ ) resultó ser 0,027 mg  $\text{NH}_4/\text{L}$ .
- La concentración de sílice tomó un valor de 2,06 mg  $\text{SiO}_2/\text{L}$ .
- La alcalinidad en este embalse (zona fótica) fue de 1,80 meq/L.

### 4.3. Fitoplancton y concentración de clorofila

En el análisis de fitoplancton se han identificado un total de 24 especies, distribuidas en los siguientes grupos taxonómicos:

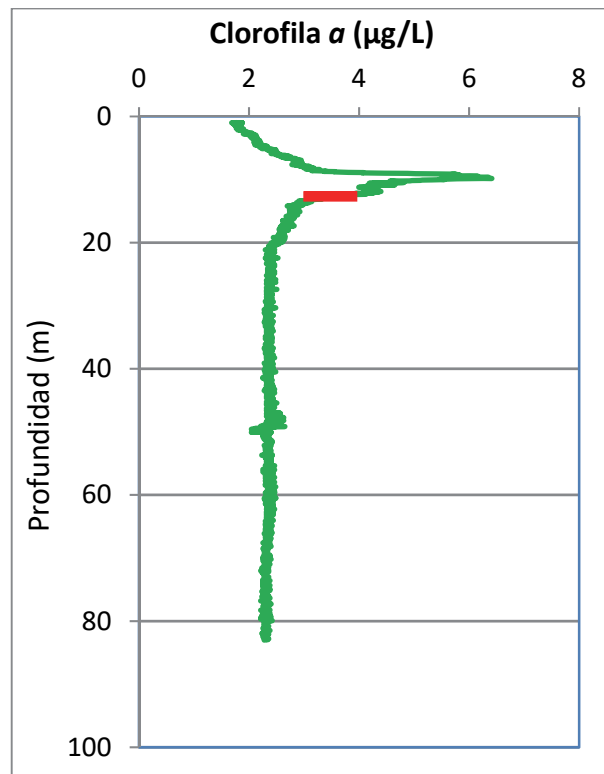
BACILLARIOPHYCEAE	3
CHRYSOPHYCEAE	6
CHLOROPHYTA	5
CYANOBACTERIA	1
CRYPTOPHYCEAE	5
DINOPHYCEAE	4

La estructura de la comunidad de fitoplancton se resume en la tabla 2 y la composición detallada en la tabla 3.

**Tabla 2.** Estructura y composición de la comunidad de fitoplancton.

PARÁMETRO	UNIDAD	VALOR
<b>Nº CÉLULAS TOTALES</b>	<b>nº cel./ml</b>	5178
<b>BIOVOLUMEN TOTAL</b>	<b>µm<sup>3</sup>/ml</b>	538290
<b>Diversidad Shannon-Wiener</b>		2,31
<b>CLASE PREDOMINANTE (DENSIDAD)</b>		Cyanobacteria
<b>Nº células/ml</b>		2275
<b>TAXÓN PREDOMINANTE (DENSIDAD)</b>		<i>Aphanocapsa</i> sp
<b>Nº células/ml</b>		2275
<b>CLASE PREDOMINANTE (BIOVOLUMEN)</b>		Dinophyceae
<b>Nº células/ml</b>		223845
<b>ESPECIE PREDOMINANTE (BIOVOLUMEN)</b>		<i>Gymnodinium uberrimum</i>
<b>Nº células/ml</b>		160703

La concentración de clorofila fue de 2,86 µg/L en la muestra integrada, cuya profundidad se ha señalado con una línea roja en la figura. En el perfil determinado por fluorimetría se se observa un máximo situado en los 9,5 m de profundidad con una concentración de 6,2 µg/L.



**Figura 6.** Perfil vertical de la clorofila a.

La composición de la población fitoplanctónica de la muestra integrada de la zona fótica indicando su abundancia y biovolumen, y la densidad cualitativa de la muestra integrada de fitoplancton del muestreo vertical con red de plancton, muestran los resultados de la tabla 3:

**Tabla 3.** Composición detallada de la comunidad de fitoplancton.

COD_EMB_LW	COMPOSICIÓN	ABUNDANCIA	BIOVOLUMEN	CUALITATIVO
	FITOPLANCTON	cél./ml	µm <sup>3</sup> /ml	(1 al 5)
	<b>BACILLARIOPHYCEAE/CENTRALES/</b>			
CYCLDELI0	<i>Cyclotella delicatula</i> (=Lindavia delicatula)	1166,40	131916,75	3
CYCLOCEL0	<i>Cyclotella ocellata</i> (=Lindavia ocellata)	73,97	12809,60	2
CYCLRADI0	<i>Cyclotella radiosa</i> (=Lindavia radiosa)			1
	<b>BACILLARIOPHYCEAE /PENNALES/</b>			
FRAGCROT0	<i>Fragilaria crotonensis</i>			2
FRAGIGEN0	<i>Fragilaria</i> sp.	0,66	179,16	
	<b>CHRYSOPHYCEAE</b>			
CHRYOGEN0	<i>Chrysochromulina</i> sp.	1012,78	32408,85	1
DINOBAVA0	<i>Dinobryon bavaricum</i>	5,69	991,31	1
DINOCREN0	<i>Dinobryon crenulatum</i>	5,69	1459,78	
DINODIVE0	<i>Dinobryon divergens</i>			1
DINOSERT0	<i>Dinobryon sertularia</i>	28,45	4055,37	3
OCHROGEN0	<i>Ochromonas</i> sp.	51,21	9196,64	2





COD_EMB_LW	COMPOSICIÓN	ABUNDANCIA	BIOVOLUMEN	CUALITATIVO
	FITOPLANCTON	cél./ml	µm <sup>3</sup> /ml	(1 al 5)
PSEUPSEU0	<i>Pseudokephyrion pseudospirale</i>	5,69	286,00	
	<b>CHLOROPHYTA</b>			
COERECU2	<i>Coelastrum reticulatum</i> var. <i>cubanum</i>			1
COENHIND0	<i>Coenochloris hindakii</i>	113,80	3813,31	1
CHLAMGEN0	<i>Chlamydomonas</i> sp.	113,80	20436,97	1
CHLOGLAR0	<i>Chlorolobion glareosum</i>	28,45	744,79	
SCENHYST0	<i>Desmodesmus hystrix</i> (= <i>Scenedesmus hystrix</i> )	22,76	858,00	
ELAKGELA0	<i>Elakathrix gelatinosa</i>	2,95	125,25	1
SPHAPLAN0	<i>Sphaerocystis planctonica</i>			2
	<b>CYANOBACTERIA</b>			
APHAGRAC0	<i>Aphanizomenon gracile</i>			2
APHASGEN0	<i>Aphanocapsa</i> sp.	2275,90	1191,66	
	<b>CRYPTOPHYCEAE</b>			
CRYPERSO0	<i>Cryptomonas erosa</i>	22,76	54400,32	1
CRYPMARS0	<i>Cryptomonas marsonii</i>	11,38	6482,63	
CRYPOVAT0	<i>Cryptomonas ovata</i>	11,38	15860,99	
PLAGLACU0	<i>Plagioselmis</i> (= <i>Rhodomonas</i> ) <i>lacustris</i>	204,83	17021,39	1
PLAGNANN0	<i>Plagioselmis nannoplantica</i> (= <i>Rhodomonas lacustris</i> var. <i>nannoplantica</i> )	5,69	206,55	
	<b>DINOPHYCEAE</b>			
CERAHIRU0	<i>Ceratium hirundinella</i>	0,66	28705,03	1
GYMNUBER0	<i>Gymnodinium uberrimum</i>	12,14	160703,97	2
PERICINC0	<i>Peridinium cinctum</i>	0,66	32877,51	2
PERIUMBO0	<i>Peridinium umbonatum</i> (= <i>Parvodinium umbonatum</i> )	0,66	1558,66	1
	<b>EUGLENOPHYCEAE</b>			
EUGLOXYU0	<i>Euglena oxyuris</i>			1
LEPOOVUM0	<i>Lepocinclis ovum</i>			1
PHACCAUD0	<i>Phacus caudatus</i>			1
PHACLONG0	<i>Phacus longicauda</i>			1
	<b>TOTALES BACILLARIOPHYCEAE</b>	<b>1241,02</b>	<b>144905,51</b>	
	<b>TOTALES CHRYSOPHYCEAE</b>	<b>1109,50</b>	<b>48397,95</b>	
	<b>TOTALES CHLOROPHYTA</b>	<b>281,75</b>	<b>25978,31</b>	
	<b>TOTALES CYANOBACTERIA</b>	<b>2275,90</b>	<b>1191,66</b>	
	<b>TOTALES CRYPTOPHYCEAE</b>	<b>256,04</b>	<b>93971,89</b>	
	<b>TOTALES DINOPHYCEAE</b>	<b>14,11</b>	<b>223845,17</b>	
	<b>TOTALES ALGAS</b>	<b>5178,33</b>	<b>538290,49</b>	

Nota: Entre paréntesis se cita el anterior nombre de la especie.

Clases de abundancia	% de presencia	Clases de abundancia	% de presencia
1	<9	4	61-99
2	10-24	5	>99
3	25-60		

#### 4.4. Zooplancton

En el análisis de zooplancton de las muestras del embalse de Canelles se han identificado un total de 17 especies, distribuidas en los siguientes grupos taxonómicos:

- 5 Cladocera
- 3 Copepoda
- 9 Rotifera

La estructura y composición de la comunidad de zooplancton se resume en la tabla 4:

**Tabla 4.** Estructura y composición de la comunidad de zooplancton.

PARÁMETRO	UNIDAD	VALOR
PROFUNDIDAD	m	13,0
DENSIDAD TOTAL	individuos/L	138,65
BIOMASA TOTAL	µg/L	87,97
Diversidad Shannon-Wiener		3,15
CLASE PREDOMINANTE (DENSIDAD)		Rotíferos
individuos/L		95,38
ESPECIE PREDOMINANTE (DENSIDAD)		<i>Polyarthra vulgaris</i>
individuos/L		52,31
CLASE PREDOMINANTE (BIOMASA)		Cladóceros
µg/L		38,42
ESPECIE PREDOMINANTE (BIOMASA)		<i>Eudiatomus vulgaris</i>
µg/L		29,15
COLUMNA AGUA INTEGRADA (red vertical)		0 - 30 m
CLADÓCEROS: 11,42 %		COPÉPODOS: 42,51 %
		ROTÍFEROS: 46,07 %



La composición detallada de la población zooplanctónica presente en la muestra cuantitativa de zooplancton indicando la densidad y biomasa, y el porcentaje de las especies presentes en la muestra integrada de la red vertical, se muestran en la tabla 5:

**Tabla 5.** Composición detallada de la comunidad de zooplancton.

CÓDIGO	COMPOSICIÓN	ABUNDANCIA	BIOMASA	PORCENTAJE
TAXÓN	ZOOPLANCTON	Ind./L	mg/L	%
	<b>CLADÓCEROS</b>			
BOSMLONG0	<i>Bosmina longirostris</i>	4,62	6,00	1,49
CERIOGEN0	<i>Ceriodaphnia sp.</i>			0,01
DAPHCUCU0	<i>Daphnia cucullata</i>	3,08	9,23	0,07
DAPHGALE0	<i>Daphnia galeata</i>	0,38	1,31	0,01
DAPHLONG0	<i>Daphnia longispina</i>	0,19	0,73	0,19
DIAPBRAC0	<i>Diaphanosoma brachyurum</i>	8,46	21,15	9,66
	<b>COPÉPODOS</b>			
ACANAMER0	<i>Acanthocyclops americanus</i>			0,07
CYCLABYS0	<i>Cyclops abyssorum</i>	0,58	1,96	1,49
EUDIVULG0	<i>Eudiaptomus vulgaris</i>	12,12	29,15	17,17
CYCLOPFAM	Ciclópido	13,85	4,85	23,78
	<b>ROTÍFEROS</b>			
ASCOOVAL0	<i>Ascomorpha ovalis</i>	1,54	0,10	0,74
ASCOSALT0	<i>Ascomorpha saltans</i>	6,15	0,38	3,72
ASPLPRIO0	<i>Asplanchna priodonta</i>	10,77	8,08	3,72
GASTSTYLO	<i>Gastropus stylifer</i>	7,69	1,54	1,49
KELLOLON1	<i>Kellicotia longispina longispina</i>	7,69	0,42	1,49
KERACOCH0	<i>Keratella cochlearis</i>	4,62	0,23	2,23
POLYMAJO0	<i>Polyarthra major</i>	3,08	0,40	2,23
POLYVULG0	<i>Polyarthra vulgaris</i>	52,31	2,35	27,49
SYNCKITIO	<i>Synchaeta kitina</i>	1,54	0,08	2,97
	<b>Total Cladóceros</b>	<b>16,73</b>	<b>38,42</b>	<b>11,42</b>
	<b>Total Copépodos</b>	<b>26,54</b>	<b>35,96</b>	<b>42,51</b>
	<b>Total Rotíferos</b>	<b>95,38</b>	<b>13,58</b>	<b>46,07</b>
	<b>Total</b>	<b>138,65</b>	<b>87,97</b>	<b>100</b>

## 5. DIAGNÓSTICO DEL GRADO TRÓFICO

Se han considerado los indicadores especificados en la tabla 6, estableciéndose el estado trófico global del embalse según la metodología descrita en la sección 5 de la MEMORIA DEL ESTUDIO.

**Tabla 6.** Parámetros indicadores y rangos de estado trófico.

Parámetros   Estado Trófico	Ultraoligotrófico	Oligotrófico	Mesotrófico	Eutrófico	Hipereutrófico
Concentración P ( $\mu\text{g P/L}$ )	0-4	4-10	10-35	35-100	>100
Disco de Secchi (m)	>6	6-3	3-1,5	1,5-0,7	<0,7
Clorofila a ( $\mu\text{g/L}$ ) epilimnion	0-1	1-2,5	2,5-8	8,0-25	>25
Densidad algal (cel./ml)	<100	100-1000	1000-10000	10000-100000	>100000
<b>VALOR PROMEDIO FINAL</b>	<b>&lt; 1,8</b>	<b>1,8 – 2,6</b>	<b>2,6 – 3,4</b>	<b>3,4 – 4,2</b>	<b>&gt; 4,2</b>

En la tabla 7 se incluye el estado trófico indicado por cada uno de los parámetros, así como la catalogación de la masa de agua según la valoración de este estado trófico final.

**Tabla 7.** Diagnóstico del estado trófico del embalse de Canelles.

INDICADOR	VALOR	ESTADO TRÓFICO
P TOTAL	6,11	Oligotrófico
CLOROFILA a	2,86	Mesotrófico
DISCO SECCHI	3,50	Oligotrófico
DENSIDAD ALGAL	5178	Mesotrófico
<b>ESTADO TRÓFICO FINAL</b>	<b>2,50</b>	<b>OLIGOTRÓFICO</b>

Atendiendo a los criterios seleccionados, los resultados obtenidos según los parámetros transparencia (DS) y fósforo total (PT), catalogan al embalse como oligotrófico. Según los resultados obtenidos de concentración de clorofila a y densidad algal, el embalse se sitúa en el rango de mesotrofia. Combinando todos los indicadores el estado trófico final para el embalse de CANELLES ha resultado ser **OLIGOTRÓFICO**.

## 6. DIAGNÓSTICO DEL POTENCIAL ECOLÓGICO

### a) Aproximación experimental (*PEexp*)

Se han considerado los indicadores especificados en la tabla 8, estableciéndose el potencial ecológico del embalse según la metodología descrita en la sección 6.3, apartado a) de la MEMORIA DEL ESTUDIO.

**Tabla 8.** Parámetros y rangos para la determinación del potencial ecológico experimental.

Indicador	Elementos	Parámetros	Bueno o superior	Moderado	Deficiente	Malo	
Biológico	Fitoplancton	Densidad algal (cel/ml)	< 10 <sup>3</sup>	10 <sup>3</sup> -10 <sup>4</sup>	10 <sup>4</sup> -10 <sup>5</sup>	>10 <sup>5</sup>	
		Biomasa algal, Clorofila <i>a</i> (µg/L)	< 2,5	2,5-8	8,0-25	>25	
		Biovolumen algal (mm <sup>3</sup> /L)	< 0,5	0,5-2	2-8	>8	
		<i>Phytoplankton Assemblage Index (Q)</i>	> 3	2-3	1-2	<1	
		<i>Trophic Index (TI)</i>	< 2,79	2,79-3,52	3,52-4,25	>4,25	
		<i>Phytoplankton Trophic Index (PTI)</i>	> 3,4	2,6-3,4	1,8-2,6	<1,8	
	Zooplancton	<i>Phytoplankton Reservoir Trophic Index (PRTI)</i>	< 6,6	6,6-9,4	9,4-12,2	>12,2	
		<i>Zooplankton Reservoir Trophic Index (ZRTI)</i>	< 6,6	6,6-9,4	9,4-12,2	>12,2	
<b>INDICADOR BIOLÓGICO (1)</b>			<b>&lt; 2,6</b>	<b>2,6 - 3,4</b>	<b>3,4 - 4,2</b>	<b>&gt; 4,2</b>	
Indicador	Elementos	Parámetros	Muy bueno	Bueno	Moderado	Deficiente	Malo
Fisicoquímico	Transparencia	Disco de Secchi (m)	>6	3-6	1, 5 -3	0, 7 -1,5	<0, 7
	Oxigenación	Concentración O <sub>2</sub> (mg O <sub>2</sub> /L)	>8	8-6	6-4	4-2	<2
	Nutrientes	Concentración de PT (µg P/L)	0-4	4-10	10-35	35-100	>100
<b>INDICADOR FISICOQUÍMICO (2)</b>			<b>Muy bueno</b>	<b>Bueno</b>	<b>Moderado</b>		
			<b>&lt; 1,6</b>	<b>1,6 - 2,4</b>	<b>&gt; 2,4</b>		

(1) La valoración del indicador biológico se obtiene asignando la calificación del elemento de menor puntuación (fitoplancton o zooplancton) o peor calidad, según la metodología *one out, all out*.

(2) La valoración del indicador fisicoquímico se obtiene asignando la calificación del elemento de menor puntuación o peor calidad, según la metodología *one out, all out*.

La combinación de los dos indicadores, fisicoquímico y biológico, para la obtención del potencial ecológico experimental final sigue el esquema de decisiones indicado en la tabla 9:

**Tabla 9.** Combinación de los indicadores.

Indicador Biológico	Indicador Fisicoquímico	Potencial Ecológico Experimental
Bueno o superior	Muy bueno	Bueno o superior
Bueno o superior	Bueno	Bueno o superior
Bueno o superior	Moderado	Moderado
Moderado	Indistinto	Moderado
Deficiente	Indistinto	Deficiente
Malo	Indistinto	Malo

En la tabla 10 se incluye el potencial indicado por cada uno de los parámetros e indicadores, así como la catalogación de la masa de agua según el potencial ecológico final.

**Tabla 10.** Diagnóstico del potencial ecológico del embalse de Canelles.

Indicador	Elementos	Parámetros	Valor	Potencial
Biológico	Fitoplancton	Densidad algal (cel/ml)	5178	Moderado
		Clorofila a (µg/L)	2,86	Moderado
		Biovolumen algal (mm <sup>3</sup> /L)	0,54	Moderado
		<i>Phytoplankton Assemblage Index (Q)</i>	4,31	Bueno o superior
		<i>Phytoplankton Trophic Index (PTI)</i>	4,20	Bueno o superior
		<i>Trophic Index (TI)</i>	2,28	Bueno o superior
		<i>Phytoplankton Reservoir Trophic Index (PRTI)</i>	2,38	Bueno o superior
	Zooplancton	<i>Zooplankton Reservoir Trophic Index (ZRTI)</i>	9,58	Deficiente
<b>INDICADOR BIOLÓGICO</b>			<b>4,0</b>	<b>DEFICIENTE</b>
Fisicoquímico	Transparencia	Disco de Secchi (m)	3,50	Bueno
	Oxigenación	O <sub>2</sub> hipolimnética (mg O <sub>2</sub> /L)	8,14	Muy bueno
	Nutrientes	Concentración de PT (µg P/L)	6,11	Bueno
<b>INDICADOR FISICOQUÍMICO</b>			<b>2,0</b>	<b>BUENO</b>
<b>POTENCIAL ECOLÓGICO PExp</b>				<b>DEFICIENTE</b>

## b) Aproximación normativa (*PEnorm*)

Se han considerado los indicadores, los valores de referencia y los límites de clase B+/M (Bueno o superior/Moderado), M/D (Moderado/Deficiente) y D/M (Deficiente/Malo), así como sus ratios de calidad ecológica (RCE), especificados en las tablas 11 y 12, estableciéndose el potencial ecológico del embalse según la metodología descrita en la sección 6.3, apartado b) de la MEMORIA DEL ESTUDIO.

**Tabla 11.** Valores de referencia propios del tipo ( $VR_t$ ) y límites de cambio de clase de potencial ecológico de los indicadores de los elementos de calidad de embalses (RD 817/2015).

Tipo	Elemento	Parámetro	Indicador	$VR_t$	B+/M (RCE)	M/D (RCE)	D/M (RCE)
Tipo 1	Fitoplancton	Biomasa	Clorofila a mg/m <sup>3</sup>	2,00	0,211	0,14	0,07
			Biovolumen mm <sup>3</sup> /L	0,36	0,189	0,126	0,063
		Composición	Índice de Catalán (IGA)	0,10	0,974	0,649	0,325
			Porcentaje de cianobacterias	0,00	0,908	0,607	0,303
Tipo 7	Fitoplancton	Biomasa	Clorofila a mg/m <sup>3</sup>	2,60	0,433	0,287	0,143
			Biovolumen mm <sup>3</sup> /L	0,76	0,362	0,24	0,12
		Composición	Índice de Catalán (IGA)	0,61	0,982	0,655	0,327
			Porcentaje de cianobacterias	0,00	0,715	0,48	0,24
Tipo 9	Fitoplancton	Biomasa	Clorofila a mg/m <sup>3</sup>	2,60	0,433	0,287	0,143
			Biovolumen mm <sup>3</sup> /L	0,76	0,362	0,24	0,12
		Composición	Índice de Catalán (IGA)	0,61	0,982	0,655	0,327
			Porcentaje de cianobacterias	0,00	0,715	0,48	0,24
Tipo 10	Fitoplancton	Biomasa	Clorofila a mg/m <sup>3</sup>	2,60	0,433	0,287	0,143
			Biovolumen mm <sup>3</sup> /L	0,76	0,362	0,24	0,12
		Composición	Índice de Catalán (IGA)	0,61	0,982	0,655	0,327
			Porcentaje de cianobacterias	0,00	0,715	0,48	0,24
Tipo 11	Fitoplancton	Biomasa	Clorofila a mg/m <sup>3</sup>	2,60	0,433	0,287	0,143
			Biovolumen mm <sup>3</sup> /L	0,76	0,362	0,24	0,12
		Composición	Índice de Catalán (IGA)	0,61	0,982	0,655	0,327
			Porcentaje de cianobacterias	0,00	0,715	0,48	0,24
Tipo 12	Fitoplancton	Biomasa	Clorofila a mg/m <sup>3</sup>	2,40	0,195	0,13	0,065
			Biovolumen mm <sup>3</sup> /L	0,63	0,175	0,117	0,058
		Composición	Índice de Catalán (IGA)	1,50	0,929	0,619	0,31
			Porcentaje de cianobacterias	0,10	0,686	0,457	0,229
Tipo 13	Fitoplancton	Biomasa	Clorofila a mg/m <sup>3</sup>	2,10	0,304	0,203	0,101
			Biovolumen mm <sup>3</sup> /L	0,43	0,261	0,174	0,087
		Composición	Índice de Catalán (IGA)	1,10	0,979	0,653	0,326
			Porcentaje de cianobacterias	0,00	0,931	0,621	0,31

**Tabla 12.** Parámetros, rangos del RECT y valores para la determinación del potencial ecológico normativo.

			RANGOS DEL RCE				
Indicador	Elementos	Parámetros	Bueno o superior	Moderado	Deficiente	Malo	
Biológico	Fitoplancton	Clorofila a (µg/L)	≥ 0,433	0,432 – 0,287	0,286 – 0,143	< 0,143	
		Biovolumen algal (mm³/L)	≥ 0,362	0,361 – 0,24	0,23 – 0,12	< 0,12	
		Índice de Catalán (IGA)	≥ 0,982	0,981 – 0,655	0,654 – 0,327	< 0,327	
		Porcentaje de cianobacterias	≥ 0,715	0,714 – 0,48	0,47 – 0,24	< 0,24	
			Bueno o superior	Moderado	Deficiente	Malo	
<b>INDICADOR BIOLÓGICO</b>			<b>&gt; 0,6</b>	<b>0,4-0,6</b>	<b>0,2-0,4</b>	<b>&lt; 0,2</b>	
			RANGOS DE VALORES				
Indicador	Elementos	Parámetros	Muy bueno	Bueno	Moderado	Deficiente	Malo
Fisicoquímico	Transparencia	Disco de Secchi (m)	>6	3-6	1, 5 -3	0, 7 -1,5	<0, 7
	Oxigenación	O <sub>2</sub> hipolimnética (mg O <sub>2</sub> /L)	>8	8-6	6-4	4-2	<2
	Nutrientes	Concentración de PT (µg P/L)	0-4	4-10	10-35	35-100	>100
			Muy bueno	Bueno	Moderado		
<b>INDICADOR FISICOQUÍMICO</b>			<b>&lt; 1,6</b>	<b>1,6 – 2,4</b>	<b>&gt; 2,4</b>		

La combinación de los dos indicadores, fisicoquímico y biológico, para la obtención del potencial ecológico normativo final sigue el esquema de decisiones indicado en la tabla 13:

**Tabla 13.** Combinación de los indicadores.

Indicador Biológico	Indicador Fisicoquímico	Potencial Ecológico Experimental
Bueno o superior	Muy bueno	Bueno o superior
Bueno o superior	Bueno	Bueno o superior
Bueno o superior	Moderado	Moderado
Moderado	Indistinto	Moderado
Deficiente	Indistinto	Deficiente
Malo	Indistinto	Malo

En la tabla 14 se incluye el potencial indicado por cada uno de los parámetros, así como la catalogación de la masa de agua según el potencial ecológico final (*PE<sub>norm</sub>*) tras pasar el filtro del indicador fisicoquímico.





**Tabla 14.** Diagnóstico del potencial ecológico (*PE<sub>norm</sub>*) del embalse de Canelles.

Indicador	Elementos	Parámetro	Indicador	Valor	RCE	RCET	<i>PE<sub>norm</sub></i>
Biológico	Fitoplancton	Biomasa	Clorofila a (µg/L)	2,86	0,91	0,94	Bueno o superior
			Biovolumen algal (mm <sup>3</sup> /L)	0,54	1,41	1,26	Bueno o superior
			<b>Media</b>				<b>1,10</b>
		Composición	<i>Índice de Catalán (IGA)</i>	0,04	1,001	1,03	Bueno o superior
			<i>Porcentaje de cianobacterias</i>	0,00	1,00	1,00	Bueno o superior
			<b>Media</b>				<b>1,02</b>
<b>Media global</b>						<b>1,06</b>	
<b>INDICADOR BIOLÓGICO</b>						<b>1,06</b>	<b>BUENO O SUPERIOR</b>
Indicador	Elementos	Indicador	Valor			<i>PE<sub>norm</sub></i>	
Fisicoquímico	Transparencia	Disco de Secchi (m)	3,50			Bueno	
	Oxigenación	O <sub>2</sub> hipolimnética (mg O <sub>2</sub> /L)	8,14			Muy bueno	
	Nutrientes	Concentración de PT (µg P/L)	6,11			Bueno	
<b>INDICADOR FISICOQUÍMICO</b>				<b>2,0</b>		<b>BUENO</b>	
<b>POTENCIAL ECOLÓGICO <i>PE<sub>norm</sub></i></b>				<b>BUENO o SUPERIOR</b>			



## ANEXO I. REPORTAJE FOTOGRÁFICO

---



**Figura 7.** Vista del cañón del embalse



**Figura 8.** Vista del punto de acceso